



امنیت حافظت در پر ابر اش ایران

مقاله پژوهشی

مجله سنجش و ایمنی پرتو، جلد ۷، شماره ۲، بهار ۱۳۹۸، صفحه ۸-۱

تاریخ دریافت مقاله: ۱۳۹۷/۰۵/۰۵، تاریخ پذیرش مقاله: ۱۳۹۸/۰۱/۳۱



اثر چرخ تعديل‌گر و تیغه‌های جبران‌کننده برد بر منحنی برآگ و محاسبه دز ذرات ثانویه در پروتون درمانی سرطان غده تیموس با استفاده از کدهای GEANT4، MCNPX و FLUKA

منصوره تاتاری*، زهرا هاشمی و راضیه علیمردانی

دانشکده فیزیک، دانشگاه یزد، یزد، ایران.

*یزد، دانشگاه یزد، دانشکده فیزیک، کد پستی: ۸۹۱۹۵-۷۴۱

پست الکترونیکی: mtatari@yazd.ac.ir

چکیده

غده تیموس از جمله غدد درون‌ریز است که نقش مهمی در ایمنی بدن دارد. سرطان غده تیموس بسیار نادر می‌باشد. یکی از راه‌های درمان آن پرتو درمانی است. پرتو درمانی سرطان غده تیموس، به علت موقعیت مکانی این غده و نزدیک بودن آن به اندام‌های مهم بدن، خطر عوارض جانبی را در بی‌دارد. در این مقاله، با شبیه‌سازی فانتوم میرید و طراحی یک چرخ تعديل‌گر و تیغه‌های جبران‌کننده برد، نحوه تشکیل قله برآگ در ناحیه تومور بررسی شد. شبیه‌سازی‌ها با استفاده از ابزار مونت‌کارلوی GEANT4، کدهای FLUKA و MCNPX انجام گرفت. از برهم‌کنش غیرکشسان پروتون‌ها با محیط ذرات ثانویه تولید می‌شوند که مهم‌ترین آن‌ها نوترون‌ها و فوتون‌ها هستند. دز پروتون‌های فرودی و ذرات ثانویه که در پروتون درمانی تولید می‌شوند، در تومور، بافت سالم تیموس و ۱۲ اندام حساس بدن که در نزدیکی این غده قرار دارند با استفاده از این ابزارهای شبیه‌سازی محاسبه شده و با یکدیگر مقایسه شده‌اند. نتایج نشان می‌دهند که در طول پروتون درمانی این سرطان، حدود ۹۶ درصد دز ناشی از پروتون‌های فرودی و ذرات ثانویه در تومور جذب می‌شود و اندام‌های حساس اطراف آن، دز بسیار ناچیزی را دریافت می‌کنند.

کلیدواژگان: پروتون درمانی، غده تیموس، چرخ تعديل‌گر، تیغه جبران‌کننده برد، دز ذرات ثانویه، مونت‌کارلو.

۱. مقدمه

بررسی کرد. در پروتون درمانی، پروتون‌ها به سمت تومور تابیده می‌شوند و با انجام برهم‌کنش‌های کولنی به بافت تومور آسیب می‌رسانند. مزیت اصلی پروتون درمانی تمرکز جذب انرژی در یک ناحیه است که در این میان، دز بسیار کمی به بافت‌های اطراف تومور می‌رسد اما در صورتی که تومور در نزدیکی بافت‌های حساس بدن قرار داشته باشد مقدار دز رسیده به این بافت‌ها حائز اهمیت است [۲،۳].

اساس روش پرتو درمانی خارجی استفاده از منابع پرتوهای یوننده است که در خارج از بدن بیمار قرار می‌گیرد. تحقیقات انجام شده برای استفاده از ذرات باردار در مسیر درمان به نیمه اول قرن بیستم بر می‌گردد. در سال ۱۹۴۶ ویلسون توزیع عمق- دز پروتون‌های سریع داخل جسم را با جزئیات توصیف کرد [۱]. توپیاس^۱ تأثیرات تابش‌های یونیزان را بر زندگی سلول‌ها

^۱ Tobias

می‌توان از ضخامت‌های متفاوت یک ماده (به عنوان چرخ تعديل‌گر) برای مدوله کردن پرتوها استفاده کرد. با عبور پرتوهای تک انرژی پروتون از ضخامت‌های متفاوت چرخ تعديل‌گر، پرتوها دارای انرژی‌های متفاوتی می‌شوند و هر انرژی، قله برآگی در یک برد متفاوت ایجاد می‌کند. از تجمع این قله‌ها، یک قله برآگ پهن شده^۶ به وجود می‌آید که از آن برای پرتودرمانی تومورهای بزرگ استفاده می‌کنند [۸,۹].

در این مطالعه، یک چرخ تعديل‌گر برای پوشش توموری به طول یک سانتی‌متر در داخل غده تیموس، طراحی شده است و سپس دز ناشی از پروتون درمانی این تومور در ۱۲ اندام حساس بدن و بافت سالم غده تیموس محاسبه شده است. تمامی نتایج با استفاده از ابزار شبیه‌سازی GEANT4 و کد MCNPX و FLUKA انجام گرفته است [۱۰-۱۲].

۲. مواد و روش کار

در این مطالعه، از فانتوم بدن میرد^۷ استفاده شد. فانتوم میرد توسط فیشر^۸ و اشنایدر^۹ در آزمایشگاه ORNL^{۱۰} در دهه ۱۹۷۰ برای محاسبات دز تابشی داخلی پژوهشکی^{۱۱} (MIRD) معرفی شد که با استفاده از اطلاعات ICRP^{۱۲} نوشته شده بود که یک مرد بالغ با قد ۱۷۰ سانتی‌متر و وزن ۷۰ کیلوگرم با سن بین ۲۰ تا ۳۰ سال را نشان می‌دهد [۱۳]. در فانتوم میرد، غده تیموس به صورت یک بیضی‌گون با قطرهای ۶ و ۱ سانتی‌متر تعریف شده است که مرکز آن در عمق ۴ سانتی‌متری از سطح سینه قرار گرفته است. در این مقاله برای بررسی سرطان تیموس توموری بیضی‌گون به قطرهای ۲، ۲ و ۱ سانتی‌متر در مرکز غده تیموس طراحی شد. قرارگیری غده

سرطان غده تیموس^۱ یکی از سرطان‌های بسیار نادر است. تقریباً سالانه در آمریکا از هر ده میلیون نفر ۱۳ نفر به این سرطان مبتلا می‌شوند که این رقم در آسیا به ۴۹ نفر می‌رسد. علت ایجاد این سرطان در بسیاری از موارد ناشناخته است. بروز این سرطان در مردان بسیار بیشتر از زنان است و عوامل ژنتیکی در بروز آن نقش مهمی دارند. برای درمان سرطان تیموس از روش‌های مختلفی مانند جراحی، پرتودرمانی و غیره استفاده می‌کنند. در پرتودرمانی انواع سرطان‌های تیموس، دز معمول از ۴۵ تا ۶۰ گری متفاوت است [۴, ۵]. آزمایشات بالینی نشان داده است که استفاده از پرتو پروتون در درمان سرطان تیموس و همچنین کاهش خطرات بعد از پرتودرمانی، بسیار کارآمد است. در پرتودرمانی، بافت‌های اطراف غده تیموس، مقداری دز دریافت می‌کنند که باعث مشکلاتی مثل التهاب و تورم غشای دور قلب^۲، التهاب مری^۳ و یا التهاب ریه^۴ می‌شود [۶]. و گل^۵ و همکارانش با پروتون درمانی ۲۷ بیمار مبتلا به سرطان غده تیموس بین سال‌های ۲۰۱۱ تا ۲۰۱۵ اعلام کردند که دز جذب شده در ناحیه تومور بین ۸۲٪ تا ۱۰۰٪ کل دز دریافتی بوده است و ۹۵٪ حجم غده را پوشش داده است. همچنین اعلام کردند که V20 (حجمی که دز ۲۰ گری دریافت کرده است) برای ریه حدود ۱۸٪ و V5 برای ریه حدود ۲۶٪ و V30 برای مری حدود ۱۴٪ بوده است و بنابراین پروتون درمانی برای این سرطان را کم خطر توصیف کرده‌اند [۷]. این مقادیر دز دریافتی در طول دوره درمان است که چندین هفته به طول می‌انجامد.

به علت تیز بودن قله برآگ، استفاده از پرتو پروتون تک انرژی بدون اعمال هیچ تغییری روی آن نمی‌تواند برای تومورهای بزرگ کارآمد باشد. به منظور پوشش کامل تومور

⁶ Spread Out Bragg Peak (SOBP)

⁷ Mird phantom

⁸ Fisher

⁹ Snyder

¹⁰ Oak Ridge National Laboratory

¹¹ Medical Internal Radiation Dose

¹² International Commission on Radiological Protection

¹ Thymus Gland

² Pericarditis

³ Esophagitis

⁴ Pneumonitis

⁵ Vogel

آمده است. چرخ تعديل‌گری به شکل چرخی که دارای پرهایی با ضخامت‌های مختلف است [۱۵] بین چشم و PMMA فانتوم شبیه‌سازی شد. جنس چرخ تعديل‌گر از ماده است. با تغییر ضخامت چرخ تعديل‌گر سعی شده که قله‌های برآگ در قسمت‌های مختلف در تومور تشکیل شود. به این ترتیب ضخامت هر گام چرخ تعديل‌گر به دست می‌آید که نتیجه‌ی آن چرخ تعديل‌گری با گام‌هایی به ضخامت ۱ میلی‌متر است که تا ضخامت ۹ میلی‌متر ادامه می‌یابد. به ازای ضخامت ۹ میلی‌متر، قله برآگ در ابتدای تومور قرار می‌گیرد. اطلاعات مربوط به چرخ تعديل‌گر در جدول ۲ آمده است. در این جدول ضرایب وزنی برای هر باریکه محاسبه شده است تا بتوان قله برآگ پهن شده را در ناحیه تومور ایجاد کرد. ضرایب وزن باریکه در واقع میزان تأثیر هر ضخامت را نشان می‌دهند و در هر نوعی از چرخ‌های تعديل‌گر نشان‌دهنده پارامتر خاصی هستند. مثلاً در صورتی که چرخ تعديل‌گر به صورت پرهای ساخته شود ضریب وزنی باریکه نشان‌گر زاویه هر پره است و در صورتی که به شکل فیلتر شیاردار ساخته شود ضریب وزنی هر باریکه نشان‌گر عرض شیارها است. از برهمنهی منحنی‌های برآگ مختلف، منحنی برآگ پهن شده به دست می‌آید که کل ناحیه تومور را پوشش می‌دهد. سپس دز جذب شده در ۱۲ اندام حساس بدن (ناشی از ذرات ثانویه) و همچنین دز کل (ناشی از ذرات ثانویه و ذرات فرویدی) در بافت سالم غده تیموس محاسبه شده است. شبیه‌سازی‌ها با استفاده از کدهای FLUKA، MCNPX و ابزار مونت‌کارلوی GEANT4 و MCNPX برای 10^7 تاریخچه انجام شد. در کد MCNPX بهمنظر محاسبه دز از تالی F6 استفاده شد. در کد FLUKA (نسخه 2011.2c) شبیه‌سازی در حالت HADROTHE انجام گرفت. در ابزار مونت‌کارلوی GEANT4 مدل فیزیکی QGSP_INCLXX به کار برده شد. خطای آماری شبیه‌سازی-ها کمتر از ۰.۲٪ است.

تیموس در داخل بدن به نحوی است که سه استخوان قفسه سینه در مقابل آن قرار می‌گیرند. ضخامت استخوان‌های قفسه سینه ۵ میلی‌متر است که به فاصله‌ی $2/8$ سانتی‌متر از یکدیگر قرار گرفته‌اند. چشم‌های سطحی پروتون به شعاع 2 سانتی‌متر در فاصله‌ی 30 سانتی‌متری از مرکز تومور در نظر گرفته شد و به‌گونه‌ای طراحی شده که پرتوها به صورت عمود بر قفسه سینه تابیده می‌شوند. در شکل ۱ نحوه‌ی قرارگیری چشم‌های نسبت به فانتوم نشان داده شده است.

به‌منظور جبران ناهمگنی که در اثر حضور قفسه سینه جلوی پرتوها، در دز عرضی (دو جهتی از تومور که پرتو عمود بر آن تابیده می‌شود) ایجاد می‌شود از تیغه‌هایی با ضخامت $1/3$ میلی‌متر از جنس پلی‌متیل‌مکریلات^۱ (PMMA) به عنوان جبران‌کننده بر استفاده شد که این ضخامت، جبران‌کننده ضخامت 5 میلی‌متری استخوان‌های قفسه سینه است. این تیغه‌های جبران‌کننده به‌گونه‌ای در مسیر پرتوهای پروتون قرار گرفتند که روی روی فاصله‌های بین هر استخوان قفسه سینه باشند. اطلاعات مواد مورد استفاده در شبیه‌سازی از داده‌های انجمن ملی استاندارد و تکنولوژی^۲ (NIST) [۱۴] دریافت شده است. اطلاعات مربوط به ماده‌ی غده تیموس و PMMA در جدول ۱ آمده است. در شکل ۲ منحنی‌های برآگ مربوط به باریکه‌های پروتون با انرژی‌های متفاوت از 30 MeV تا 90 MeV در فانتوم میرید رسم شده است. در این شکل مشاهده می‌شود که انرژی بهینه برای پروتون درمانی سلطان غده تیموس باید در محدوده‌ی انرژی 70 MeV تا 80 MeV قرار گیرد. انرژی چشم‌های پروتون باید تا حدی باشد که پرتوون‌ها از تیغه‌های جبران‌کننده، بافت سالم بدن و غده‌ی تیموس عبور کرده و قله برآگ در انتهای تومور تشکیل شود. با استفاده از شبیه‌سازی این انرژی برابر با 77 MeV به دست

¹ Poly Methyl Methacrylate

² National Institute of Standards and Technology

جدول (۲): ضرایب وزنی باریکه در ضخامت‌های مختلف چرخ تعديل‌گر.

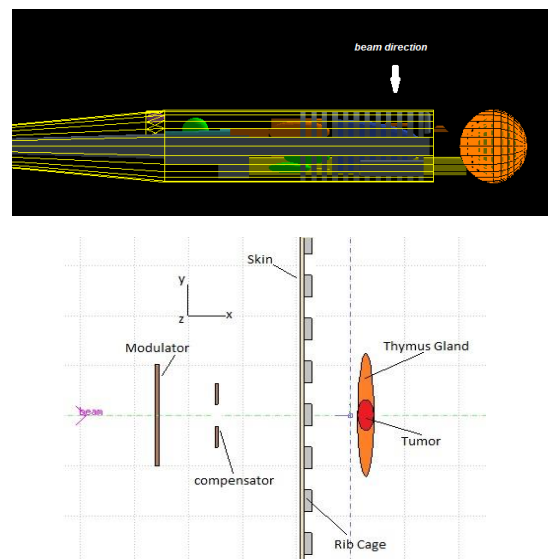
ρ (g/cm ³)	O	N	C	H	نوع بافت
1/۱۰	۷۶/۲	۲/۶	۱۱/۱	۱۰/۱	تیموس
۱/۱۹	۱۲/۳	-	۳۳/۳	۵۳/۳	PMMA

جدول (۱): درصد عناصر تشکیل‌دهنده غده تیموس و PMMA [۱۴].

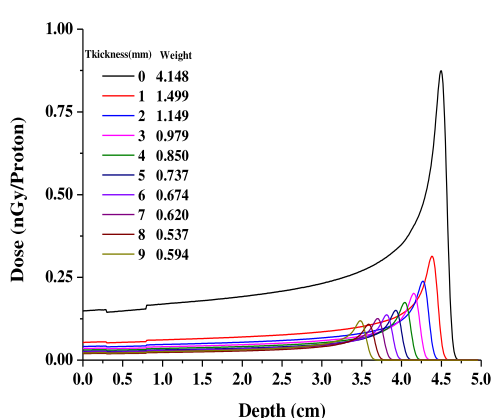
ضخامت (میلی‌متر)	ضریب وزنی باریکه
۴/۱۴۸	.
۱/۴۹۹	۱
۱/۱۴۹	۲
۰/۹۷۹	۳
۰/۸۵۰	۴
۰/۷۳۷	۵
۰/۶۷۴	۶
۰/۶۲۰	۷
۰/۵۳۷	۸
۰/۵۹۴	۹

۳. نتایج و بحث

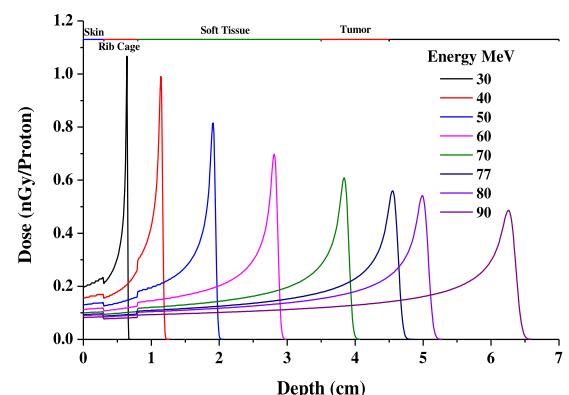
در شکل ۳ منحنی‌های برآگ برای پروتون‌های با انرژی ۷۷ MeV و به ازای ضخامت‌های متفاوت چرخ تعديل‌گر با اعمال ضریب وزنی هر باریکه نشان داده شده است. در این شکل عمق صفر نشان‌گر سطح قفسه سینه و در عمق ۳/۵ سانتی‌متری تا ۴/۵ سانتی‌متری مکان تومور است. از برهم‌نهی منحنی‌های برآگ مختلف با ضرایب وزنی متفاوت (ضرایب وزنی هر منحنی برآگ محاسبه شده و در شکل ۳ نشان داده شده است) که قله آن‌ها در عمق‌های مختلف تومور ایجاد می‌شود، یک منحنی برآگ ایجاد می‌شود که دارای قله برآگ پهن شده است که کل تومور را به طور کامل پوشش می‌دهد. با توجه به شعاع چشمۀ طراحی شده و قراردادن تیغه‌های جبران‌کننده در مسیر پرتو، سطح جانبی تومور نیز به طور کامل پوشش داده می‌شود.



شکل (۱): فانتوم میرد و نحوه قرار گیری چرخ تعديل‌گر و تیغه‌های جبران‌کننده برد.

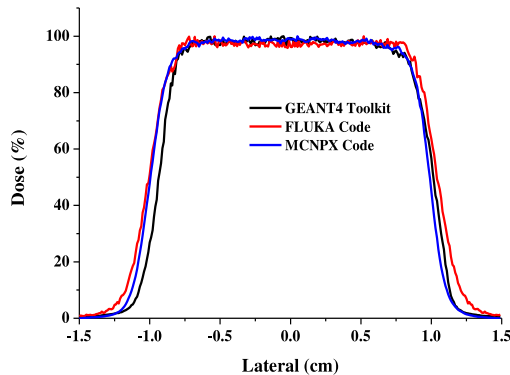


شکل (۳): شبیه‌سازی قله‌های برآگ مدوله شده با استفاده از ابزار .GEANT4

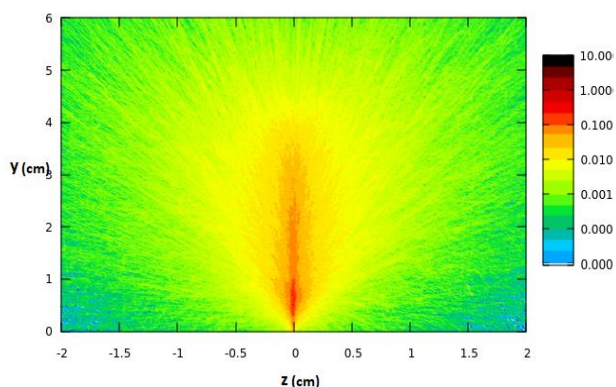


شکل (۲): منحنی‌های برآگ به ازای انرژی‌های مختلف چشمۀ پروتون.

می‌گذارند می‌تواند خطرات جانبی برای بافت‌های سالم در پی داشته باشد. در شکل‌های ۷ و ۸ به ترتیب پریند توزیع شار نوترون‌های ثانویه و فوتون‌های ثانویه نشان داده شده است که با استفاده از کد FLUKA رسم شده‌اند. از این شکل‌ها مشاهده می‌شود که بیشترین شار ذرات ثانویه در ناحیه تومور است. در جدول ۳ دز دریافت شده ناشی از پروتون‌های فروودی و ذرات ثانویه به ازای یک پروتون فروودی، در ۱۲ اندام حساس بدن که در نزدیکی غده تیموس هستند و همچنین در تومور و در بافت سالم غده تیموس، نشان داده شده است. محاسبات با استفاده از ابزار GEANT4، کد FLUKA و کد MCNPX انجام شده است. از جدول ۳ دیده می‌شود که بیشترین میزان دز توسط تومور جذب می‌شود و دز جذب شده در اندام‌های ذکر شده بسیار ناچیز است.

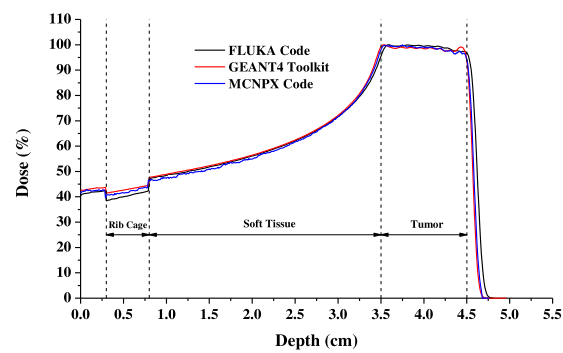


شکل (۶): شبیه‌سازی توزیع دز جانی در تومور.

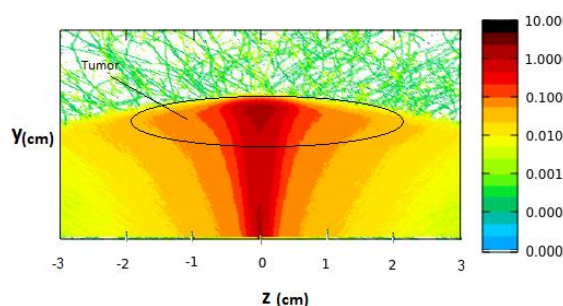


شکل (۷): شبیه‌سازی توزیع شار نوترون‌های ثانویه با استفاده از FLUKA-USRBIN

شکل ۴ قله برآگ پهن شده و شکل ۵ پریند انرژی پروتون‌ها را نشان می‌دهند. در شکل ۴ دیده می‌شود که از عمق $0/3$ سانتی‌متری تا $0/8$ سانتی‌متری کاهش دز وجود دارد علت این کاهش، عبور پرتوها از استخوان قفسه سینه با چگالی $1/48 \text{ g/cm}^3$ و ضخامت $0/5$ سانتی‌متری آن است و در حالتی که پرتوها از استخوان قفسه سینه عبور نمی‌کنند حضور تیغه‌های جبران‌کننده با چگالی $1/19 \text{ g/cm}^3$ ، این کاهش دز را جبران می‌کنند. در شکل ۵ دیده می‌شود که بیشترین انرژی پروتون‌ها در ناحیه تومور قرار می‌گیرد.



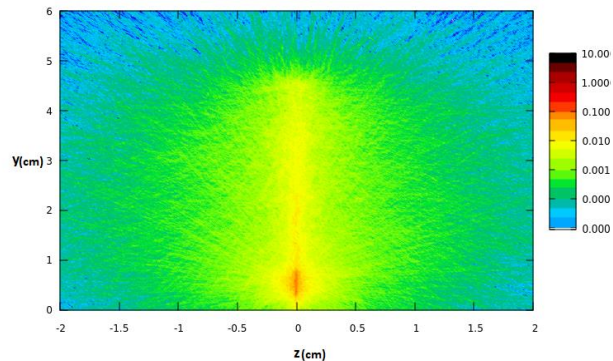
شکل (۴): شبیه‌سازی قله برآگ پهن شده در ناحیه تومور.



شکل (۵): پریند انرژی جذب شده در محیط توسط پروتون‌ها در راستای محورهای Z و y.

در شکل ۶ توزیع دز جانی در ناحیه تومور نیز نشان داده شده است که توازن خوبی بین نتایج حاصل از شبیه‌سازی با کدهای مختلف دیده می‌شود. در اثر برهم‌کنش هسته‌ای غیرکشسان پروتون‌ها با عناظر تشکیل دهنده بافت‌ها ذرات ثانویه تولید می‌شوند که مهم‌ترین آن‌ها نوترون‌ها و فوتون‌ها هستند. دزی که ذرات ثانویه در اندام‌های سالم اطراف تومور به جای

ثانویه در ناحیه تومور جذب می‌شوند. باید دقت شود که نتایج جدول‌های ۳ و ۴ به ازای یک پروتون فرودی هستند و در صورت داشتن مشخصات یک شتابدهنده و انجام آزمایش، باقیستی تأثیر جریان شتابدهنده در نتایج شبیه‌سازی اعمال شود تا با نتایج تجربی قابل مقایسه شوند.



شکل (۸): شبیه‌سازی توزیع شار فوتون‌های ثانویه با استفاده از

FLUKA-USRBIN

جدول (۳): دز جذب شده در اندام‌های مختلف بدن (nGy/Proton).

پروتون‌ها شبیه همه ذرات باردار با عبور از ماده، افت سریع انرژی را در انتهای مسیر خود دارند. این جذب انرژی در عمق‌های مختلف ماده وابسته به انرژی پروتون‌ها است. از این ویژگی پروتون‌ها در درمان سرطان‌هایی که در قسمت‌های عمیق بدن قرار دارند استفاده می‌شود. حضور ناهمگنی در بافت در شکل کلی منحنی برآگ تغییری ایجاد نمی‌کند و می‌توان با تغییر در انرژی باریکه پروتون مشکل حضور بافت ناهمگن در مسیر پرتوها را برطرف کرد. در این مقاله با شبیه‌سازی چرخ تعديل‌گر و تیغه‌های جبران‌کننده برد در مسیر پرتوها، تومور طراحی شده در داخل غده تیموس به‌طور کامل در هر سه بعد توسط قله برآگ پهن‌شده پوشش داده شد. شبیه‌سازی‌ها با استفاده از کدهای مونت‌کارلوی MCNPX و ابزار FLUKA و GEANT4 انجام شد. در اثر برهم‌کنش‌های هسته‌ای پروتون با ماده، سهم قابل توجهی از انرژی پروتون توسط ذرات ثانویه حمل می‌شود. ذرات ثانویه در ماده حرکت کرده و انرژی خود را تخلیه می‌کنند. برد برخی از این ذرات بیشتر از برد پروتون خواهد بود به گونه‌ای که ممکن است انرژی آن‌ها خارج از حجم هدف جذب شود. این مورد، در پرتودرمانی موجب جذب دز در بافت سالم بدن بیمار و درنتیجه عوارض جانبی می‌گردد. با محاسبه دز پروتون‌های فرودی و دز ذرات ثانویه تولید شده در ۱۲ اندام حساس بدن که در نزدیکی این غده قرار دارند مشاهده می‌شود که این اندام‌ها دز بسیار کمی را دریافت می‌کنند. نتایج نشان می‌دهند

برای مقایسه مدل‌های استفاده شده در کدهای مختلف شبیه‌سازی که از آن‌ها استفاده شده است و همچنین برای بررسی تأثیر ذرات ثانویه تولید شده در پروتون درمانی سرطان غده تیموس، دز ناشی از نوترون‌ها و فوتون‌های تولید شده در واکنش‌های هسته‌ای در حین پروتون درمانی غده تیموس در بافت‌های مختلف بدن به‌طور جداگانه توسط کدهای مختلف محاسبه شده است و نتایج در جدول ۴ آورده شده است. جدول ۴ نشان می‌دهد که توافق خوبی بین نتایج حاصل از کدهای مختلف وجود دارد و همچنین بیشترین میزان دز ذرات

نتایج حاصل از شبیه‌سازی با کدهای مختلف در توافق خوبی با که ۹۶ درصد دز کل در ناحیه تومور جذب می‌شود که بیانگر یکدیگر هستند. کم خطر بودن پروتون درمانی برای درمان این سرطان است.

جدول(۴): دز جذب شده نوترون‌ها و فوتون‌های ثانویه در اندام‌های مختلف بدن (nGy/Proton).

GEANT4		FLUKA		MCNPX		کد شبیه‌سازی
نوترون	فوتون	نوترون	فوتون	نوترون	فوتون	اندام
$1/05019 \times 10^{-2}$	$0/90441 \times 10^{-5}$	$1/22801 \times 10^{-4}$	$0/83709 \times 10^{-5}$	$0/73497 \times 10^{-4}$	$0/91361 \times 10^{-5}$	تومور
$0/82008 \times 10^{-7}$	$0/45301 \times 10^{-7}$	$0/94220 \times 10^{-7}$	$0/42105 \times 10^{-7}$	$0/71039 \times 10^{-7}$	$0/47331 \times 10^{-7}$	بافت سالم غده تیموس
$0/41809 \times 10^{-7}$	$0/30079 \times 10^{-7}$	$0/70021 \times 10^{-7}$	$0/20077 \times 10^{-7}$	$0/51932 \times 10^{-7}$	$0/28901 \times 10^{-7}$	قلب
$0/09630 \times 10^{-7}$	$0/08840 \times 10^{-7}$	$0/24980 \times 10^{-7}$	$0/09010 \times 10^{-7}$	$0/10038 \times 10^{-7}$	$0/08019 \times 10^{-7}$	کبد
$0/20459 \times 10^{-7}$	$0/10290 \times 10^{-7}$	$0/25349 \times 10^{-7}$	$0/13227 \times 10^{-7}$	$0/10119 \times 10^{-7}$	$0/10397 \times 10^{-7}$	تیروئید
$0/17990 \times 10^{-7}$	$0/14009 \times 10^{-7}$	$0/35108 \times 10^{-7}$	$0/10980 \times 10^{-7}$	$0/27509 \times 10^{-7}$	$0/11942 \times 10^{-7}$	لوزالمعده
$0/11786 \times 10^{-7}$	$0/09790 \times 10^{-7}$	$0/23701 \times 10^{-7}$	$0/14906 \times 10^{-7}$	$0/10418 \times 10^{-7}$	$0/11604 \times 10^{-7}$	معده
$0/10768 \times 10^{-7}$	$0/09201 \times 10^{-7}$	$0/19021 \times 10^{-7}$	$0/11319 \times 10^{-7}$	$0/15107 \times 10^{-7}$	$0/14001 \times 10^{-7}$	طحال
$0/39004 \times 10^{-7}$	$0/21007 \times 10^{-7}$	$0/28710 \times 10^{-7}$	$0/15039 \times 10^{-7}$	$0/35181 \times 10^{-7}$	$0/30084 \times 10^{-7}$	ریه راست
$0/43221 \times 10^{-7}$	$0/25905 \times 10^{-7}$	$0/33101 \times 10^{-7}$	$0/18032 \times 10^{-7}$	$0/37319 \times 10^{-7}$	$0/38107 \times 10^{-7}$	ریه چپ
$0/26450 \times 10^{-7}$	$0/12956 \times 10^{-7}$	$0/11180 \times 10^{-7}$	$0/09664 \times 10^{-7}$	$0/24029 \times 10^{-7}$	$0/19341 \times 10^{-7}$	کلیه راست
$0/10488 \times 10^{-7}$	$0/09028 \times 10^{-7}$	$0/10310 \times 10^{-7}$	$0/08333 \times 10^{-7}$	$0/15209 \times 10^{-7}$	$0/09983 \times 10^{-7}$	کلیه چپ
$0/19022 \times 10^{-7}$	$0/09429 \times 10^{-7}$	$0/09891 \times 10^{-7}$	$0/07322 \times 10^{-7}$	$0/10032 \times 10^{-7}$	$0/13706 \times 10^{-7}$	فوق کلیه راست
$0/11755 \times 10^{-7}$	$0/09667 \times 10^{-7}$	$0/08821 \times 10^{-7}$	$0/07211 \times 10^{-7}$	$0/14217 \times 10^{-7}$	$0/17949 \times 10^{-7}$	فوق کلیه چپ

۵. مراجع

- [1] R.R. Wilson. Radiological use of fast protons. *Radiology* 47 (1946) 487–491.
- [2] M.A. Nunes. Hadron therapy physics and simulations. Springer (2014).
- [3] M. Durante, H. Paganetti. Nuclear physics in particle therapy: a review. *Rep. Prog. Phys.* 79 (2016) 096702–096725.
- [4] S.M. Gadalla, A. Rajan, R. Pfeiffer, S.Y. Kristinsson, M. Bjorkholm, O. Landgren, G. Giaccone. A population-based assessment of mortality and morbidity patterns among patients with thymoma. *Int. J. Cancer* 128 (2010) 2688–2694.
- [5] M. Myojin, N.C. Choi, C.D. Wright, J.C. Wain, N. Harris, E.B. Hug, D.J. Mathisen, T. Lynch, R.W. Carey, M. Grossbard, D.M. Finkelstein, H.C. Grillo. Stage III Thymoma: pattern of failure after surgery and postoperative radiotherapy and its implication for future study. *Int. J. Radiat. Oncol. Biol. Phys.* 4 (2000) 927–933.
- [6] R.R. Parikh, R. Rhome, E. Hug, H. Tsai, O. Cahlon, B. Chon, A. Goenka. Adjuvant proton beam therapy in the management of thymoma: A dosimetric comparison and acute toxicities. *Clin. Lung. Cancer* 17 (2016) 362–366.
- [7] J. Vogel, L. Lin, L.A. Litzky, A.T. Berman, C.B. Simone. Predicted rate of secondary malignancies following adjuvant proton versus photon radiation therapy for thymoma. *Int. J. Radiation. Oncol. Biol. Phys.* 99 (2017) 427–433
- [8] T. Bortfeld. An analytical approximation of the Bragg curve for therapeutic proton beams. *Med. Phys.* 24 (1997) 2024–2033.
- [9] R. Garcia-Molina, I. Abril, P. Vera, I. Kyriakou, D. Emfietzoglou. A study of the energy deposition profile of proton beam simulators of hadron therapeutic interest. *Appl. Radiat. Isotopes* 83 (2014) 109–114.
- [10] Geant4-Collaboration. Physics reference manual for Geant4. CERN, (2015).
- [11] A. Ferrari, P.R. Sala, A. Fass, J. Ranft. FLUKA: A multi-particle transport code, CERN, (2011).
- [12] D.B. Pelowitz. MCNPX user's manual version 2.6.0, LA-CP-07-1473, (2008).
- [13] ICRP publication 110, Realistic reference phantoms: An ICRP/ICRU joint effort, Annals of the ICRP, (1975).
- [14] National Institute of Standards and Technology (NIST), Online available at <https://www.nist.gov>.
- [15] S.B. Jia, F. Romano, G.A.P. Cirrone, G. Cuttone, M. H. Hadizadeh, A.A. Mowlavi, L. Raffaele. Designing a range modulator wheel to spread-out the Bragg peak for a passive proton therapy facility. *Nucl. Instrum. Meth. A* 806 (2016) 101–108.